

大阪大学工学部 正員 奈良 敬  
 大阪大学工学部 正員 小松 定夫

1 まえがき 本研究は、日本鋼構造協会に所属する橋梁製作会社 20 社による測定された実箱桁橋の左縮フランジの初期にわみの実測データを統計的に処理し、その特性について明らかにすると共に、それに基づいて基準耐荷力の確率論的評価法を提示し、あわせて初期にわみの測定検査法について検討するための基礎資料を収集することを目的として実施されたものである。本報告は、それらの成果について総括したものである。<sup>1), 2)</sup>

2 左縮板の初期にわみと耐荷力評価

(a) 解析モデルの縦横比 縦横比の影響を調べるために縦横比を種々に変化させて極限強度の変化を解析により調べた。すなわち、極限強度に支配的の影響を与える筒状曲げモードと板曲げモードの2つの初期にわみモードについて、IDWRの測定法に基づいて得られた初期にわみ  $\Delta x_1$  と  $\Delta x_6$  の頻度分布の1例を図-1に示す。これにワイブル分布を適用し、それに対して超過確率5%の初期にわみの値、ひらびにこの初期にわみを有する縦横比  $G/b$  の左縮板パネルの極限強度を  $G/b$  の関数としてプロットし図-2に示す。この図よりわかるように、初期にわみを板幅  $b$  に等しいゲージ長  $G$  を基準として測定し、それに対応して解析モデルの縦横比を  $G/b=1$  とすることが、左縮板パネルの耐荷力評価に関して最も合理的であると考える。

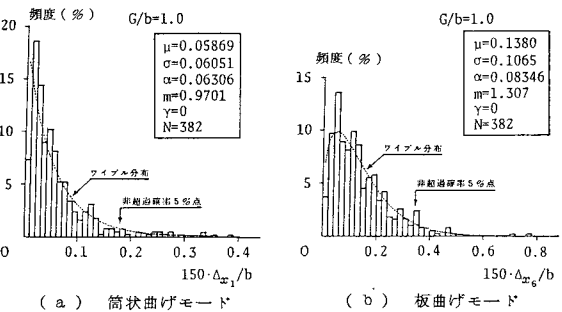


図-1 左縮板の初期にわみの頻度分布

(b) 等価初期にわみの算定 左縮板パネルの解析モデルの縦横比を  $G/b=1$  とし、幅厚比パラメータ  $R$  を変化させて上述の2つの初期にわみモード別に敏感度曲線を求めた後、初期にわみに関する2つのパラメータ、すなわち筒状曲げモードと板曲げモードを次のような手順で1つのパラメータに置換する。具体的に述べると、ある幅厚比パラメータにおける敏感度曲線が次式で与えられるとする。関数  $F_1(x)$ ,  $F_6(x)$  は3次多項式で十分で

①筒状曲げモードに対して  $y = F_1(x_1)$  (1)  
 $y = \bar{\sigma}_{max}/\sigma_y, x_1 = 150 \Delta x_1/b$

②板曲げモードに対して  $y = F_6(x_6)$  (2)  
 $y = \bar{\sigma}_{max}/\sigma_y, x_6 = 150 \Delta x_6/b$

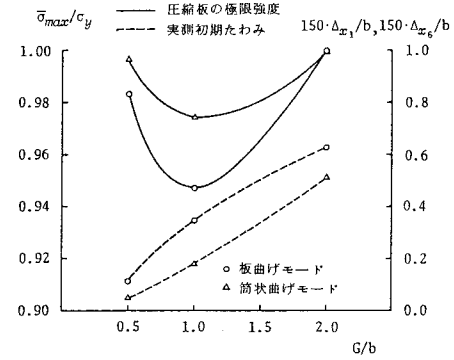


図-2 左縮板の極限強度および実測初期にわみとゲージ長との関係

ある。式(1)と式(2)において、 $F_1(x_1) = F_6(x_6)$  が成立するときの  $x_1$  と  $x_6$  との関係を示す。

$\bar{x}_6 = b_0 + b_1 x_1 + b_2 x_1^2 + b_3 x_1^3$  (3)

すなわち、筒状曲げモードの大きさ  $x_1$  を式(3)に示す3次多項式を用いて同じ極限強度を有する等価板曲げモードの大きさ  $\bar{x}_6$  に置換し加算することにより、筒状曲げモードを板曲げモードとして取り扱うことにする。すなわち、次式

$x_{eq} = \bar{x}_6 + x_6, x_{eq} = 150 \Delta x_{eq}/b$  (4)

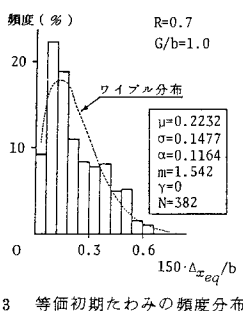


図-3 等価初期にわみの頻度分布

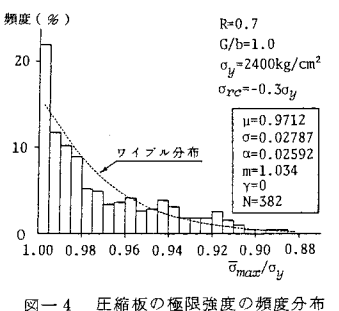


図-4 左縮板の極限強度の頻度分布

により等価初期たわみ  $X_{eq}$  が与えられる。等価初期たわみの頻度分布の1例を図-3に示す。極限強度と等価初期たわみとの関係を表わす敏感度曲線については、板曲げモードの場合の敏感度曲線を適用すればよい。

(c) 耐力評価 圧縮板パネルの耐力評価について次の2つの方法を用いた。①ワイブル分布とした場合の等価初期たわみの超過確率1%, 5%, 10%点の値を、敏感度曲線にあてはめ、それぞれ極限強度の非超過確率1%, 5%, 10%点を求める。②等価初期たわみの全データを順次敏感度曲線にあてはめて極限強度の頻度分布を求めた1例を図-4に示す。この頻度分布をワイブル分布にあてはめ極限強度の非超過確率1%, 5%, 10%点を求める。上述した2つの方法により求められた極限強度については両者に差異は認められなかった。このようにして種々のR値について非超過確率1%, 5%, 10%の極限強度を図-5にプロットする。

③ 圧縮補剛板の初期たわみと耐力評価

(a) 縦補剛材の初期たわみ 圧縮補剛板の耐力に最も影響を及ぼす縦補剛材の初期たわみと、最大初期たわみ量  $\delta_0$ 、正弦半波長のみ初期たわみ波形の振幅  $\delta_{01}$ 、IDWRの測定法に基づいた初期たわみ量  $\Delta_{SX}$  について、 $q/1000$  で無次元化して求めた頻度分布、さらにその確率モデルとしてあてはめたワイブル分布を図-6に示す。どの場合も正側(補剛材側)の初期たわみの方が大きく現われている。

(b) 耐力評価 3本以上の縦補剛材を有する多リブモデルを用いて求めた敏感度曲線に、縦補剛材の初期たわみ  $\delta_{01}$  の超過確率1%, 5%および10%点をあてはめ、極限強度の非超過確率1%, 5%および10%点を求めた結果を図-7に示す。縦補剛材の初期たわみが道路橋示方書の許容値  $q/1000$  の場合の極限強度曲線は、非超過確率10%点のそれとほとんど一致する。また、非超過確率10%点の極限強度曲線は図中に示した実験結果の下限値を与えていることがわかる。

④ 結論 圧縮板および圧縮補剛板の基準耐力の確率論的評価法、さらにそれに基づいて極限強度曲線と提示した。

参考文献 1) 奈良・小松: 美橋の圧縮板の初期たわみに関する統計的研究, 第34回年講概要集I-109, 1979年10月。2) 小松・奈良・八重島: 剛性横リブを有する圧縮補剛板の初期たわみと耐力の統計的研究, 昭和55年度関西支部年講概要集, 1980年6月。

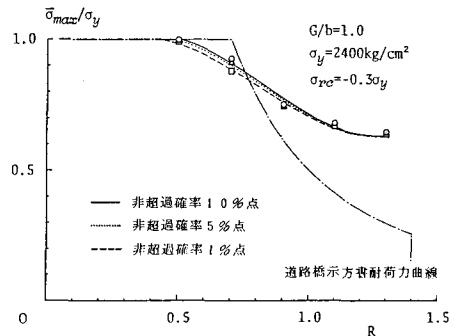
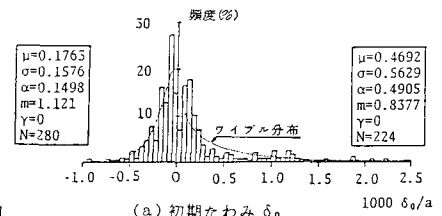
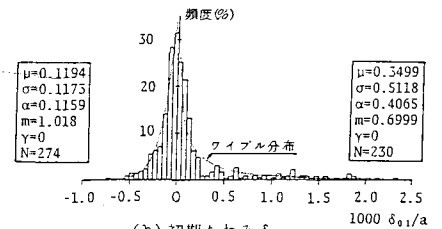


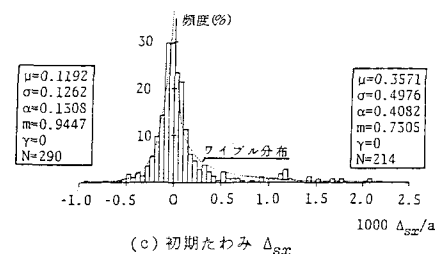
図-5 圧縮板の極限強度曲線



(a) 初期たわみ  $\delta_0$



(b) 初期たわみ  $\delta_{01}$



(c) 初期たわみ  $\Delta_{SX}$

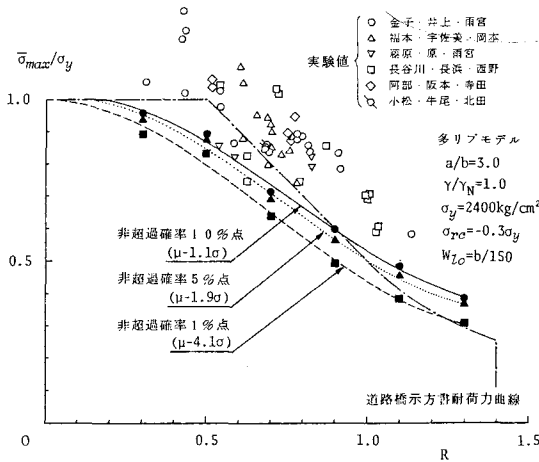


図-7 圧縮補剛板の極限強度曲線

図-6 縦補剛材の初期たわみの頻度分布